

MATERIAL SUPLEMENTARIO

Tabla S1. Especies leñosas del arbolado de alineación registradas en tres barrios de la Ciudad Autónoma de Buenos Aires. Las especies se encuentran listadas en orden de abundancia decreciente. Se detalla el número de individuos observados, el tipo de corteza, la altura o rangos de altura más frecuentes informados por la bibliografía y el origen de cada especie (Lahitte et al. 1999; Lahitte et al. 2001).

Table S1. Woody species recorded in three neighborhoods of the Autonomous City of Buenos Aires. Species are listed in descending order of abundance. The table includes the number of observed individuals, bark type, height or most frequently reported height ranges from the literature and the origin of each species (Lahitte et al. 1999; Lahitte et al. 2001).

| id | Especie | n° individuos | Corteza | Altura (m) | Origen |
|----|--------------------------------------|---------------|---------|------------|---------|
| 1 | <i>Fraxinus pennsylvanica</i> | 202 | rugosa | 8-15 | exótico |
| 2 | <i>Jacaranda mimosifolia</i> | 87 | rugosa | 20 | nativo |
| 3 | <i>Tipuana tipu</i> | 79 | rugosa | 10-30 | nativo |
| 4 | <i>Platanus x acerifolia</i> | 33 | lisa | 10-25 | exótico |
| 5 | <i>Ficus benjamina</i> | 28 | lisa | 20-30 | exótico |
| 6 | <i>Tilia x molkei</i> | 23 | rugosa | 15-20 | exótico |
| 7 | <i>Acer negundo</i> | 11 | rugosa | 10-18 | exótico |
| 8 | <i>Melia azedarach</i> | 11 | rugosa | 15 | exótico |
| 9 | <i>Photinia x fraseri</i> | 8 | lisa | 5 | exótico |
| 10 | <i>Lagerstroemia indica</i> | 7 | lisa | 3-7 | exótico |
| 11 | <i>Liquidambar styraciflua</i> | 7 | rugosa | 8-15 | exótico |
| 12 | <i>Styphnolobium japonicum</i> | 7 | rugosa | 10-25 | exótico |
| 13 | <i>Ligustrum lucidum</i> | 6 | lisa | 5-15 | exótico |
| 14 | <i>Acacia visco</i> | 5 | rugosa | 7-15 | nativo |
| 15 | <i>Fraxinus excelsior</i> | 5 | rugosa | 8-20 | exótico |
| 16 | <i>Handroanthus impetiginosus</i> | 5 | rugosa | 30 | nativo |
| 17 | <i>Acer buergerianum</i> | 4 | rugosa | 4-6 | exótico |
| 18 | <i>Ceiba speciosa</i> | 2 | lisa | 25 | nativo |
| 19 | <i>Persea americana</i> | 2 | rugosa | 20 | exótico |
| 20 | <i>Robinia pseudoacacia</i> | 2 | rugosa | 12-15 | exótico |
| 21 | <i>Salix babylonica</i> | 2 | rugosa | 10 | exótico |
| 22 | <i>Acer palmatum</i> | 1 | rugosa | 4-7 | exótico |
| 23 | <i>Arecastrum romanzoffianum</i> | 1 | lisa | 10-25 | nativo |
| 24 | <i>Callistemon citrinus</i> | 1 | rugosa | 3-5 | exótico |
| 25 | <i>Camelia sinensis</i> | 1 | lisa | 1-4 | exótico |
| 26 | <i>Carya illinoensis</i> | 1 | rugosa | 40 | exótico |
| 27 | <i>Cinnamomum glanduliferum</i> | 1 | rugosa | 15 | exótico |
| 28 | <i>Duranta erecta</i> | 1 | rugosa | 2-4 | nativo |
| 29 | <i>Cupressus sempervirens</i> | 1 | rugosa | 25-30 | exótico |
| 30 | <i>Enterolobium contortisiliquum</i> | 1 | rugosa | 30 | nativo |
| 31 | <i>Eugenia myrtifolia</i> | 1 | lisa | 15 | exótico |
| 32 | <i>Ficus lyrata</i> | 1 | lisa | 12-15 | exótico |

| id | Especie | n° individuos | Corteza | Altura (m) | Origen |
|----|-------------------------------|---------------|---------|------------|---------|
| 33 | <i>Hibiscus rosa-sinensis</i> | 1 | rugosa | 2-5 | exótico |
| 34 | <i>Ligustrum sinense</i> | 1 | lisa | 2-7 | exótico |
| 35 | <i>Manihot grahamii</i> | 1 | rugosa | 2-7 | nativo |
| 36 | <i>Magnolia grandiflora</i> | 1 | lisa | 8-30 | exótico |
| 37 | <i>Morus alba</i> | 1 | rugosa | 15 | exótico |
| 38 | <i>Prunus cerasifera</i> | 1 | lisa | 3-8 | exótico |
| 39 | <i>Spiraea cantoniensis</i> | 1 | lisa | 1-2 | exótico |
| 40 | <i>Ulmus pumila</i> | 1 | rugosa | 8-12 | exótico |

Tabla S2. Lista de especies holoepífitas y epífitas facultativas o hemiepífitas presentes en la Ribera Platense, según lo reportado en la bibliografía (Dosil Hiriart et al. 2018; Cellini et al. 2012; Hurrell et al. 2005; Guerrero and Cellini 2017). Se indica el tipo de epifitismo, el origen, el estatus, la familia botánica, y si fue encontrada en los muestreos se marca con una X.

Table S2. List of holoepiphyte and hemiepiphyte or facultative epiphyte plant species found in the Ribera Platense, as documented in the literature (Dosil Hiriart et al. 2018; Cellini et al. 2012; Hurrell et al. 2005; Guerrero and Cellini 2017). The table includes information on the type of epiphytism, origin, status, botanical family, and presence in the surveys (marked with an X if found).

| id | Especie | Tipo de epifitismo | Origen | Estatus | Familia | Encontrada |
|----|----------------------------------|--------------------|-------------|----------------------|---------------|------------|
| 1 | <i>Tillandsia recurvata</i> | holoepífita | nativo | espontánea | Bromeliáceas | X |
| 2 | <i>Tillandsia aëranthos</i> | holoepífita | nativo | espontánea | Bromeliáceas | X |
| 3 | <i>Tillandsia usneoides</i> | holoepífita | nativo | espontánea | Bromeliáceas | |
| 4 | <i>Tillandsia myosura</i> | holoepífita | nativo | espontánea | Bromeliáceas | |
| 5 | <i>Tillandsia bandensis</i> | holoepífita | nativo | espontánea | Bromeliáceas | |
| 6 | <i>Microgramma mortoniana</i> | holoepífita | nativo | espontánea | Polypodiáceas | X |
| 7 | <i>Pleopeltis pleopeltifolia</i> | holoepífita | nativo | espontánea | Polypodiáceas | |
| 8 | <i>Pleopeltis minima</i> | holoepífita | nativo | espontánea | Polypodiáceas | |
| 9 | <i>Pleopeltis macrocarpa</i> | holoepífita | nativo | espontánea | Polypodiáceas | |
| 10 | <i>Nephrolepis cordifolia</i> | facultativa | pantropical | espontánea/cultivada | Polypodiáceas | X |
| 11 | <i>Gomesa bifolia</i> | holoepífita | nativo | espontánea/cultivada | Orquidáceas | |
| 12 | <i>Cyclopogon elatus</i> | facultativa | nativo | espontánea | Orquidáceas | |
| 13 | <i>Rhipsalis lumbricoides</i> | holoepífita | nativo | espontánea | Cactáceas | |
| 14 | <i>Ficus luschnathiana</i> | hemiepífita | nativo | espontánea | Moráceas | X |

Tabla S3. Resumen del GLM de riqueza de epífitas.

Table S3. Summary of the Generalized Linear Model (GLM) for epiphytic richness.

| Term | Estimación | DS | Estadístico | P-valor |
|-------------------------|------------|---------|-------------|----------|
| (intercept) | -2.58656 | 0.28946 | -8.936 | < 2e-16 |
| tamanoG | 1.67733 | 0.24056 | 6.973 | 3.11e-12 |
| tamanoM | 1.37804 | 0.23942 | 5.756 | 8.62e-09 |
| rugosidad_cortezarugosa | 1.00469 | 0.21112 | 4.759 | 1.95e-06 |
| nativosi | 1.00469 | 0.09615 | 4.539 | 5.65e-06 |

Figura S1. Riqueza observada (promedio de 100 rarefacciones; línea continua) y riqueza esperada (promedio de cuatro estimadores: ICE Mean, Chao 2 Mean, Jack 2 Mean, Bootstrap Mean; línea punteada) de plantas epífitas. Obtenidos con EstimateS, para un total de 555 forófitos del arbolado de alineación en tres barrios de la Ciudad Autónoma de Buenos Aires, Argentina.

Figure S1. Observed richness (average of 100 rarefactions; solid line) and expected richness (average of four estimators: ICE Mean, Chao 2 Mean, Jack 2 Mean, Bootstrap Mean; dashed line) of epiphytic plants. Obtained with EstimateS, for a total of 555 host trees from the street tree canopy in three neighborhoods of the Autonomous City of Buenos Aires, Argentina.

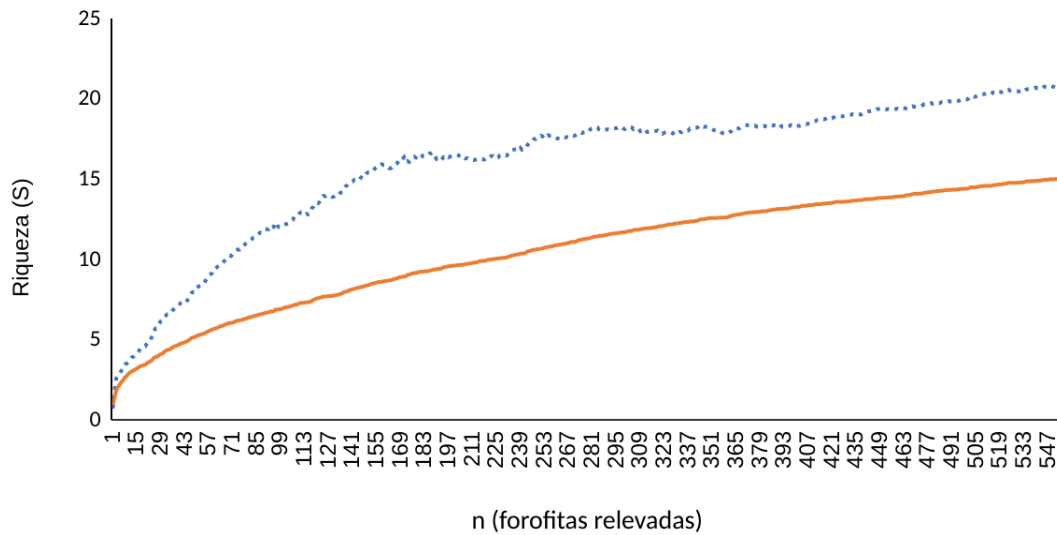


Figura S2. Curvas de rarefacción para la riqueza de especies epífitas en función del número de individuos de forófitas muestreados. Las líneas continuas representan la riqueza de especies de epífitas en función del número de individuos muestreados de corteza rugosa, mientras que las líneas discontinuas representan la riqueza de especies para las forófitas de corteza lisa. Los intervalos de confianza del 95% se muestran como barras de error. Los datos corresponden al arbolado de alineación en tres barrios de la Ciudad Autónoma de Buenos Aires, Argentina.

Figure S2. Rarefaction curves for epiphyte species richness as a function of the number of sampled phorophyte individuals. The solid lines represent the species richness of epiphytes as a function of the number of sampled individuals with rough bark, while the dashed lines represent the species richness for phorophytes with smooth bark. The 95% confidence intervals are shown as error bars. The data is from street trees in three neighborhoods of the Autonomous City of Buenos Aires, Argentina.

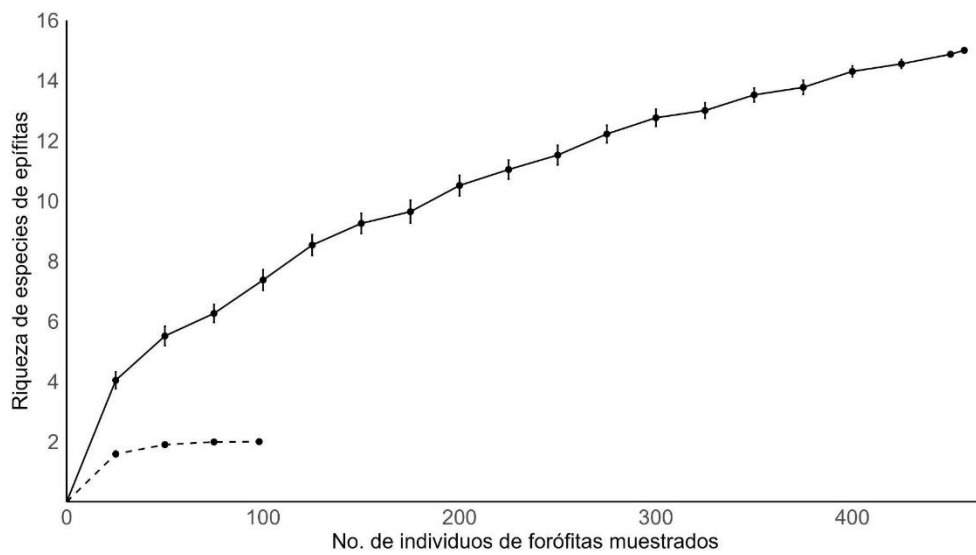


Figura S3. (A) *Tillandsia recurvata* y (B) *Microgramma mortoniana*, holoepífitas nativas. (C) *Asparagus aethiopicus* y (D) *Phoenix canariensis*, epífitas accidentales exóticas observadas en los muestreos, sobre árbol nativo de corteza rugosa, *Tipuana tipu*. (E) Corteza lisa de *Platanus x acerifolia* y (F) corteza rugosa de *Fraxinus pennsylvanica*, ambas especies exóticas usadas en el arbolado de alineación.

Figure S3. (A) *Tillandsia recurvata* and (B) *Microgramma mortoniana*, native holoepiphytes. (C) *Asparagus aethiopicus* and (D) *Phoenix canariensis*, exotic accidental epiphytes observed in surveys, on a native tree with rough bark, *Tipuana tipu*. (E) Smooth bark of *Platanus x acerifolia* and (F) rough bark of *Fraxinus pennsylvanica*, both exotic species used as street trees.

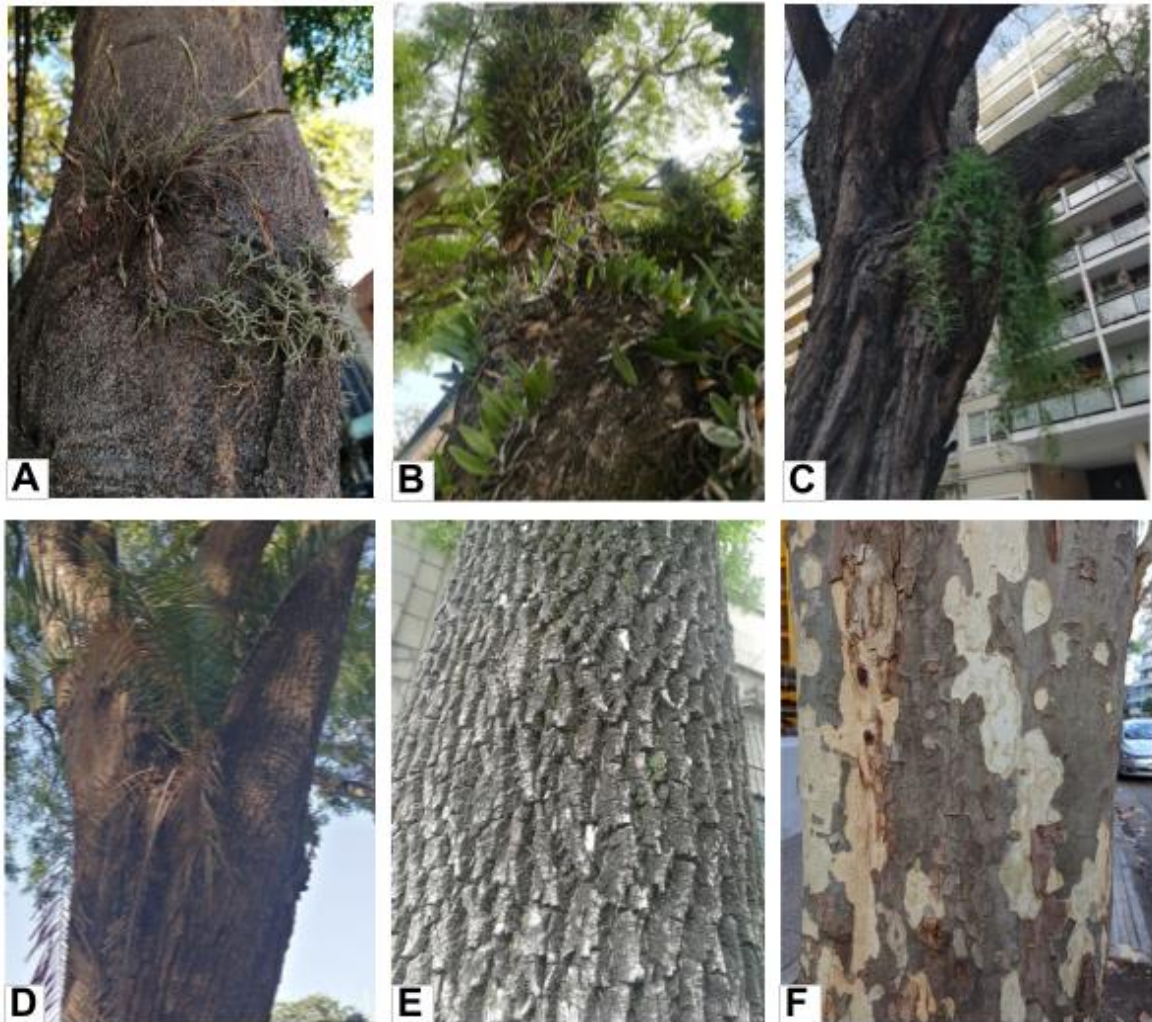


Figura S4. Puede accederse a los datos usados en este trabajo escaneando el código QR que aparece a continuación o cliqueando sobre el mismo.

Figure S4. Access to the data used in this study can be obtained by scanning the QR code below or by clicking on it.

